

« Missing data in physics » workshop

Nice, May 11th. & 12th. 2015

Influence of irregular nodes spacing
in noisy rational interpolation

Jean-Daniel Fournier

with CNRS

at ARTEMIS Lab

UNS / CNRS / OCA

Coworker : M Pindor (†)

Influence of irregular nodes spacing in noisy rational interpolation

To the lowest order in the noise amplitude, a certain 'Froissart' Polynomial (FP) governs the statistics of the additional zeros and poles in **stochastically perturbed rational interpolation**.

The FP is actually a random polynomial and there is an interplay between the **noise**, the pattern of the interpolation **nodes** and the statistical pattern of the **roots** of the FP.

Donner une formule fermée pour les RA (PA, RI ou autres) de $f = \varphi + g$

$\tilde{f} = \frac{P_p}{Q_q} = [P/Q]_f \approx f$
rationnelle

ou plus précisément

$\tilde{f}_\varepsilon \approx f_\varepsilon = \varphi + \varepsilon g$

$\varphi = \frac{T_m}{B_n}$
rationnelle

simple traceur ("power counting") du calcul; $\varepsilon \in \mathbb{R}^*$
À la fin on spécifiera $0 < \varepsilon \ll 1$ qui est le régime asymptotique approprié pour formuler et prouver le premier acte du phénomène de froussart

aléatoire avec des hypothèses probabilistes convenables
Il est commode d'introduire cette hypothèse dès le début, cela simplifie certaines preuves, et après tout c'est ce problème qui nous intéresse ici: AVEC ALEA

Notations

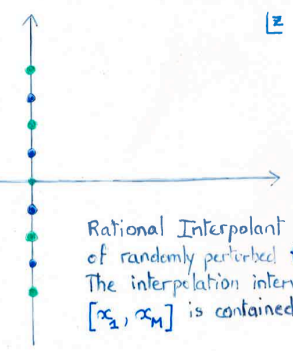
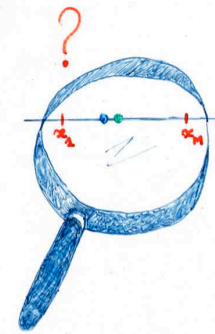
$p = m + k$
 $q = n + k$

On se cantonnera en général à la classe $k = k \in \mathbb{N}^*$

~~Speaker: Jean-Daniel BOURIER, Nice, France.
Co-worker: Maciej PIVNIA, Warsaw, Poland.~~

~~Sincere thanks to our colleagues
at U.I. Antwerpen
for undertaking the organization of
this meeting, very useful to all.~~

How it started



Tr, mars 2003

TOY MODEL

$\varphi \equiv \Phi$ interpolé par f_{Y_i} (3)

$$\varphi \equiv \Phi \quad m=n=0 \quad k=k-1 \quad p=q=1 \quad M=3$$

$$\text{Points} \quad g-1 \quad g+e \quad g+1$$

$$z_1 \quad z_2 \quad z_3$$

$$\tilde{f}_\varepsilon(z) = \frac{P_\varepsilon(z)}{Q_\varepsilon(z)} \Big|_{z_j} = (1 + \varepsilon r_j) \varphi(z) \Big|_{z_j}$$

s'écrit alors

$$\begin{cases} p_0 + (g-1)p_1 - (1 + \varepsilon r_1)(g-1)q_1 = (1 + \varepsilon r_1)(q_0 \Phi) \\ p_0 + (g+e)p_1 - (1 + \varepsilon r_2)(g+e)q_1 = (1 + \varepsilon r_2)(q_0 \Phi) \\ p_0 + (g+1)p_1 - (1 + \varepsilon r_3)(g+1)q_1 = (1 + \varepsilon r_3)(q_0 \Phi) \end{cases}$$

$$\tilde{f}_\varepsilon(z) = \Phi \frac{p_1 z + p_0}{q_1 z + 1}$$

Cramer

$$\Delta = \begin{vmatrix} 1 & g-1 & -(1 + \varepsilon r_1)(g-1) \\ 1 & g+e & -(1 + \varepsilon r_2)(g+e) \\ 1 & g+1 & -(1 + \varepsilon r_3)(g+1) \end{vmatrix} = -\varepsilon \begin{vmatrix} 1 & (g-1) & r_1(g-1) \\ 1 & (g+e) & r_2(g+e) \\ 1 & (g+1) & r_3(g+1) \end{vmatrix} = -\varepsilon \Delta_0$$

$$p_0 = \frac{\varepsilon \Delta_a + \varepsilon^2 \Delta_b}{\varepsilon \Delta_0} \quad p_1 = \frac{\varepsilon \Delta_c + \varepsilon^2 \Delta_d}{\varepsilon \Delta_0}$$

$$q_1 = \frac{\varepsilon \Delta_e}{\varepsilon \Delta_0} \quad \text{avec} \quad \Delta_a = \Delta_0 ; \Delta_c = \Delta_e$$

$$\tilde{f}_\varepsilon = \Phi \frac{p_1 z + p_0}{q_1 z + 1} = \Phi \frac{K_1(z) + \varepsilon \bar{P}_1(z)}{K_1(z)}$$

$$K_1(z) = \Delta_a + \Delta_c z \quad \bar{P}_1(z) = \Delta_b + \Delta_d z$$

Dans la variable $\xi = z - g$, le polynôme de Froissart s'écrit

$$K_1(\xi) = r_3 - r_1 + e(r_3 - 2r_2 + r_1) - 1[(1-e)r_1 - 2r_2 + (1+e)r_3] \xi$$

12 mars 2003

Dans la variable $\xi = z - g$, le polynôme de Foisart s'écrit

$$K_1(\xi) = r_3 - r_1 + e(r_3 - 2r_2 + r_1) - [(1-e)r_1 - 2r_2 + (1+e)r_3] \xi$$

TOY MODEL

$\{r\}$ r.v. i.i.d. g. c. n.

$$p(\xi) = \mathbb{E}[d(\xi - \xi_*)] \quad \text{avec } K_1(\xi_*; r's) = 0$$

$$p = \frac{1}{\pi} \frac{1}{\lambda} \frac{1}{1 + (\xi - \xi_c)^2 / \lambda^2}$$

$$\xi_c = e \frac{4}{3} \frac{1}{1 + (e/\sqrt{3})^2}, \quad \lambda^2 = \frac{1}{\sqrt{3}} \frac{(1-e^2)}{1 + (e/\sqrt{3})^2}, \quad -1 \leq e \leq 1$$

$$\mathcal{P}\{\xi_* \in [z_1, z_2]\} = \int_{z_1}^{z_2} p(\xi) d\xi = \frac{2}{3} \quad (\text{indépendante de } e)$$

EXEMPLES DE RESULTATS NON ELEMENTAIRES

⇒ Cas où ψ est une fraction rationnelle $[m/n]$ quelconque; on a une formule exacte pour l'interpolant

$$P_{(m+k)}^{(n+k)}(z) = \frac{P_{m+k}(z)}{Q_{n+k}(z)} = \frac{T_m(z) K_k(z) + \sum_{\ell=0}^n e^\ell P_{m+k}^{(\ell)}(z)}{B_n(z) K_k(z) + \sum_{\ell=0}^n e^\ell Q_{n+k}^{(\ell)}(z)}$$

qui assure le phénomène de Foisart: doublets d'élongation évanescente

⇒ Cas où $k=1$ $K_1(z; \{r's\})$ est obtenu exactement

Une loi de Cauchy subsiste $\forall m \forall n$

$$p(\xi) = \frac{1}{\pi} \frac{1}{\lambda} \frac{1}{1 + (\xi - \xi_c)^2 / \lambda^2}$$

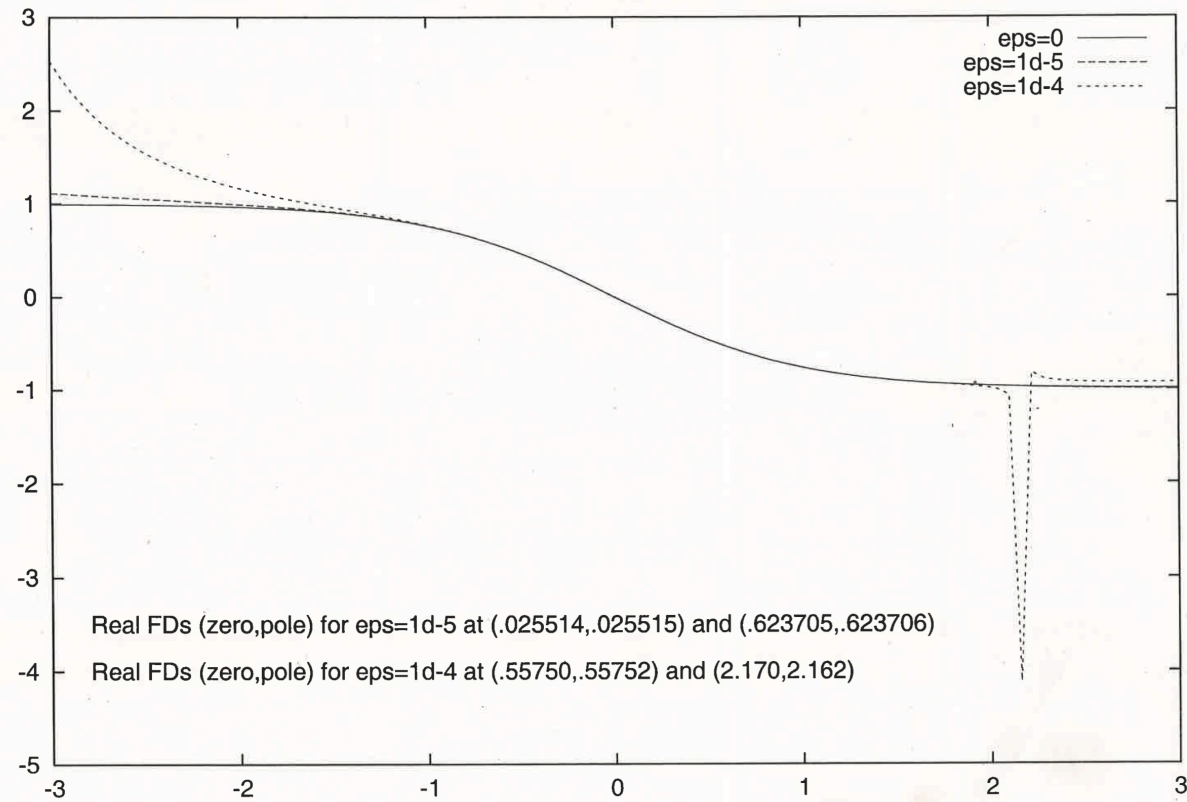
$$\text{et } \mathcal{P}\{\xi_* \in [z_1, z_2]\} \geq \frac{1}{2}$$

RESULTATS NUMERIQUES POUR $k \geq 1$

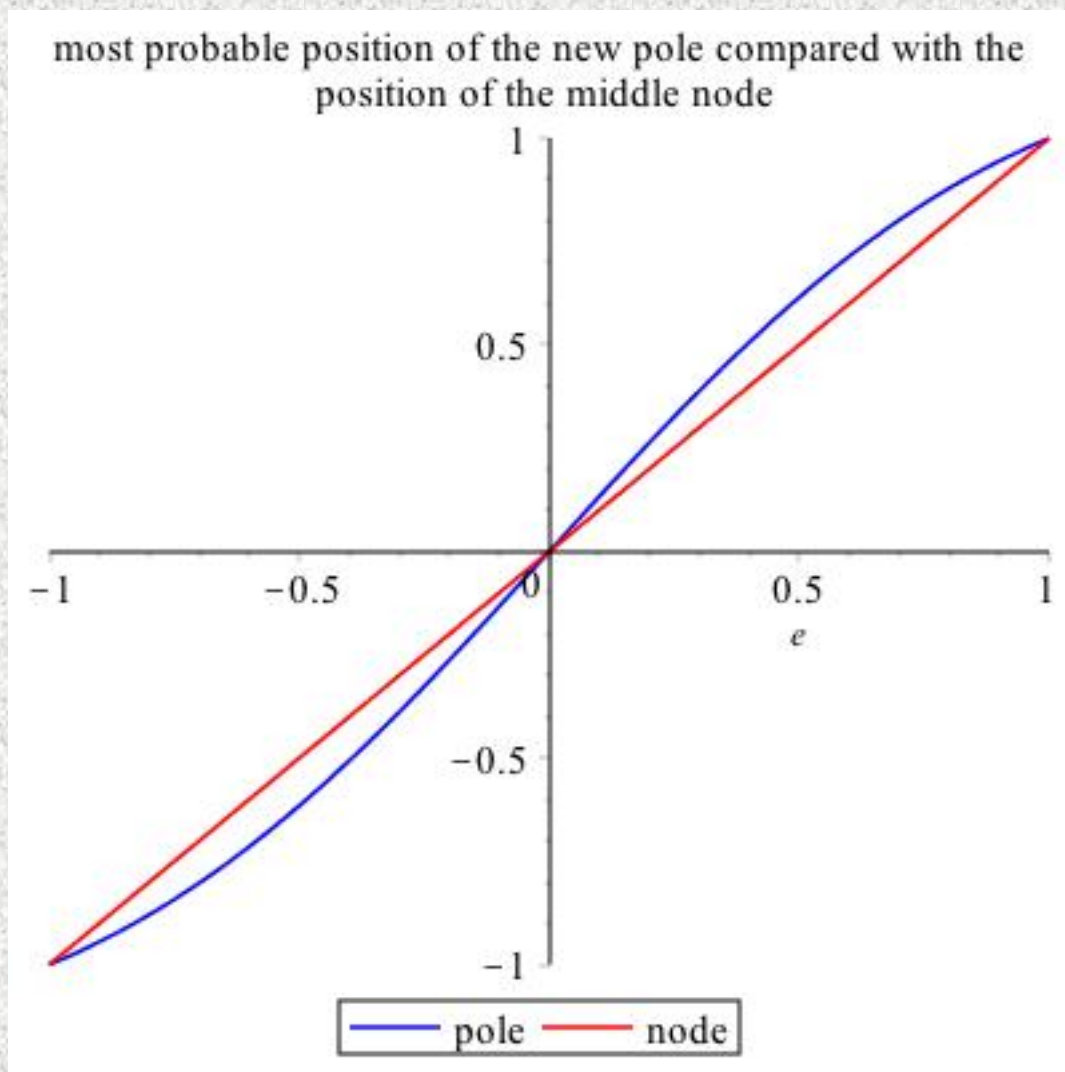
Les doublets se localisent dans le voisinage complexe $(\mathbb{C} \setminus \mathbb{R})$ ou réel (composante singulière sur \mathbb{R}) de l'intervalle d'interpolation.

Marek 5
bruite

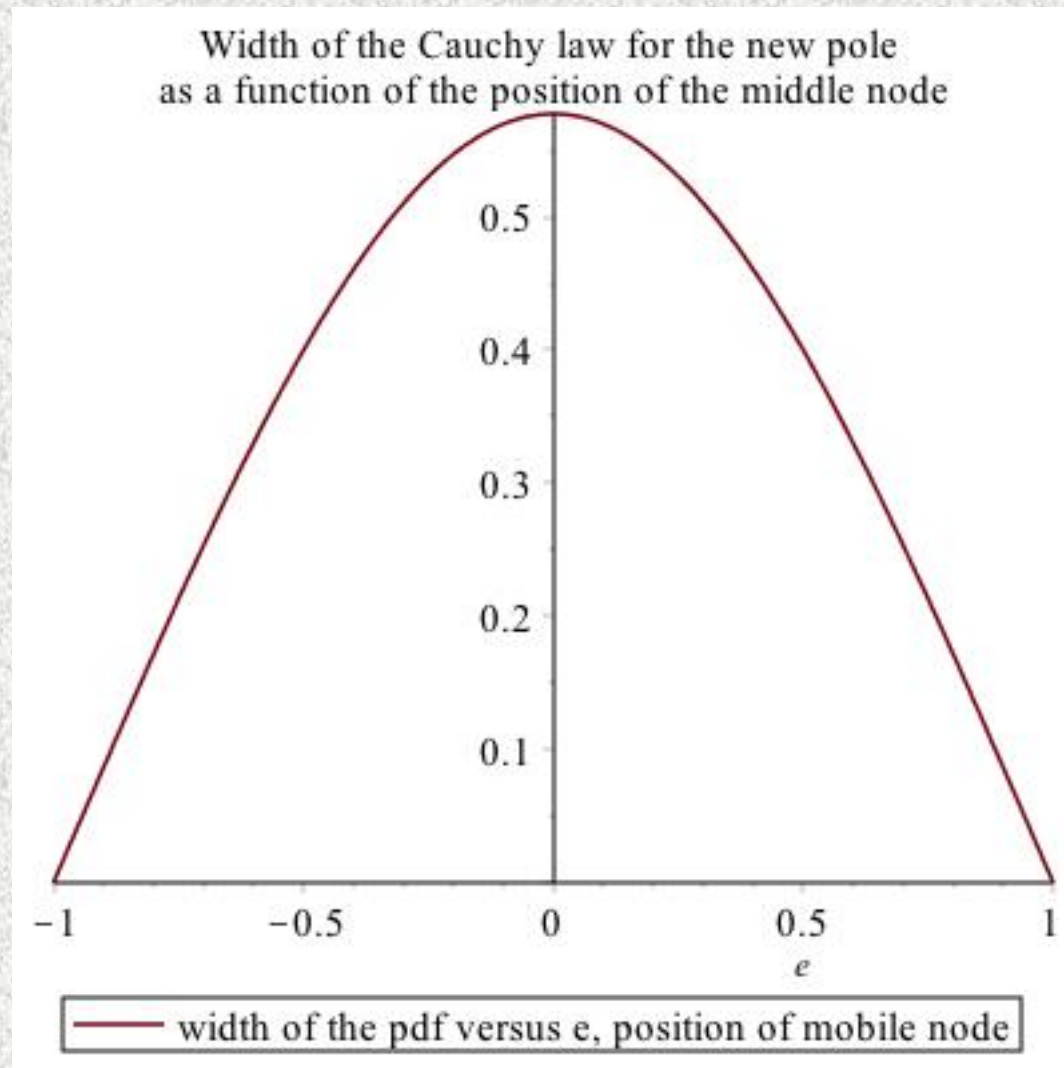
Plots of (7/7) to $-\tanh(x)$ with and without noise; interp. interval [-.5:1.5]



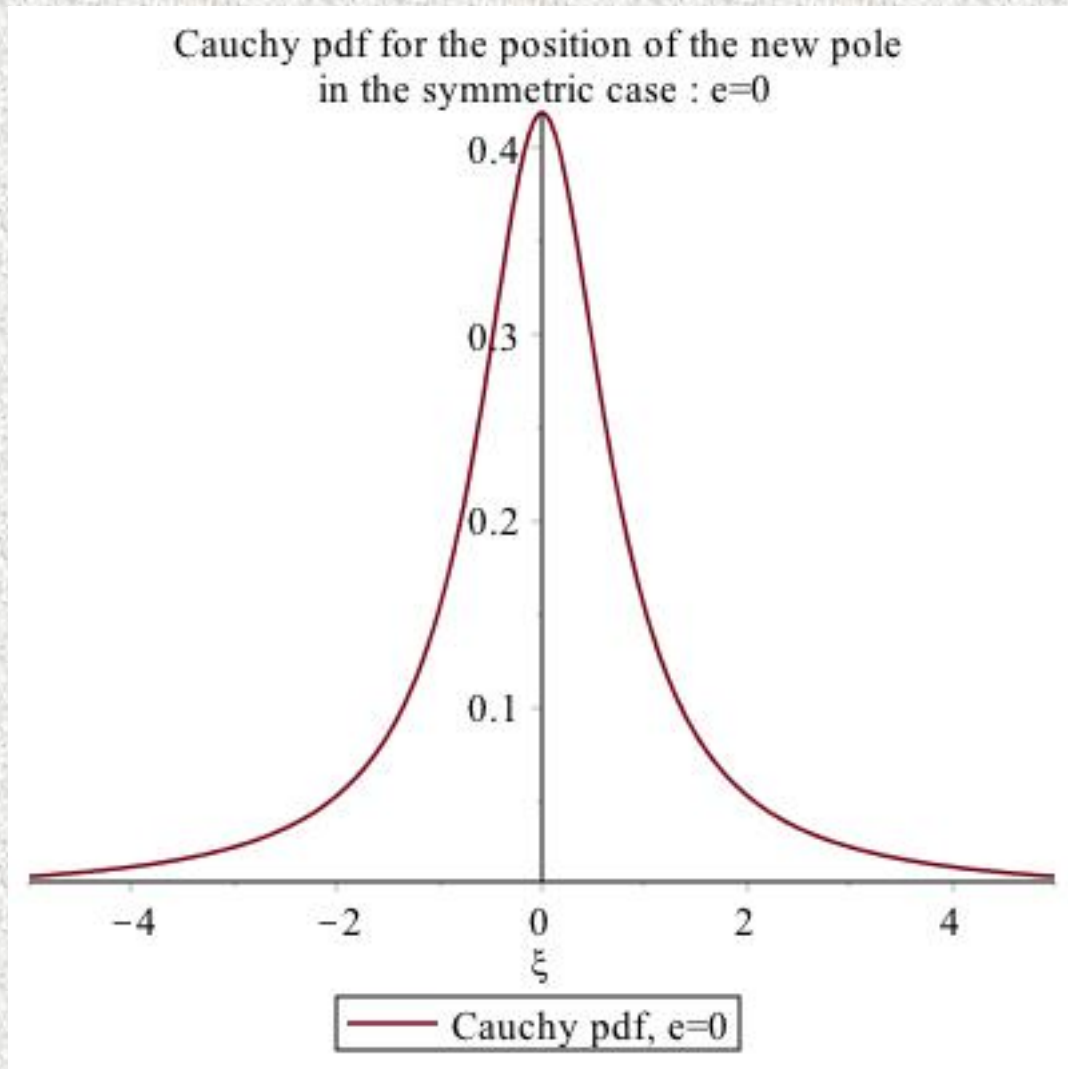
```
plot([4e/(e^2+3), e], e = -1 .. 1, color = [blue, red]);
```




```
plot(sqrt(3)*(-e^2+1)/(e^2+3), e = -1..1)
```



```
plot(subs(e = 0, rho(xi)), xi = -5 .. 5)
```



```
plot(subs(e = .99, rho(xi)), xi = -5 .. 5)
```

